

Код Jet3D: некоторые задачи 2015 года

Бендерский Л.А., Любимов Д.А., Потехина И.В., Федоренко А.Э.

ФГУП «ЦИАМ им. П.И. Баранова», г. Москва

**CFD weekend «Отечественные CFD-коды 2015»
ИПМ им. М.В. Келдыша, Москва, 28-29 ноября 2015**

Характеристики кода:

Название кода:

JET3D

Что моделируется (классы течений):

ненесжимаемые течения

сжимаемые течения: дозвук - гиперзвук

аэроакустика

Модели:

H-C

Моделирование турбулентных течений:

URANS DES RANS/LES

Сетки и сеточные технологии:

структурированные многоблочные криволинейные сетки

Численные методы:

Конечно-объемные

Переменные: плотность-скорость

Порядок аппроксимации по пространству 3-5 для несжимаемых течений, 5-9 для предраспадных параметров в схеме Роу для сжимаемых течений

Интегрирование по времени:

неявная схема

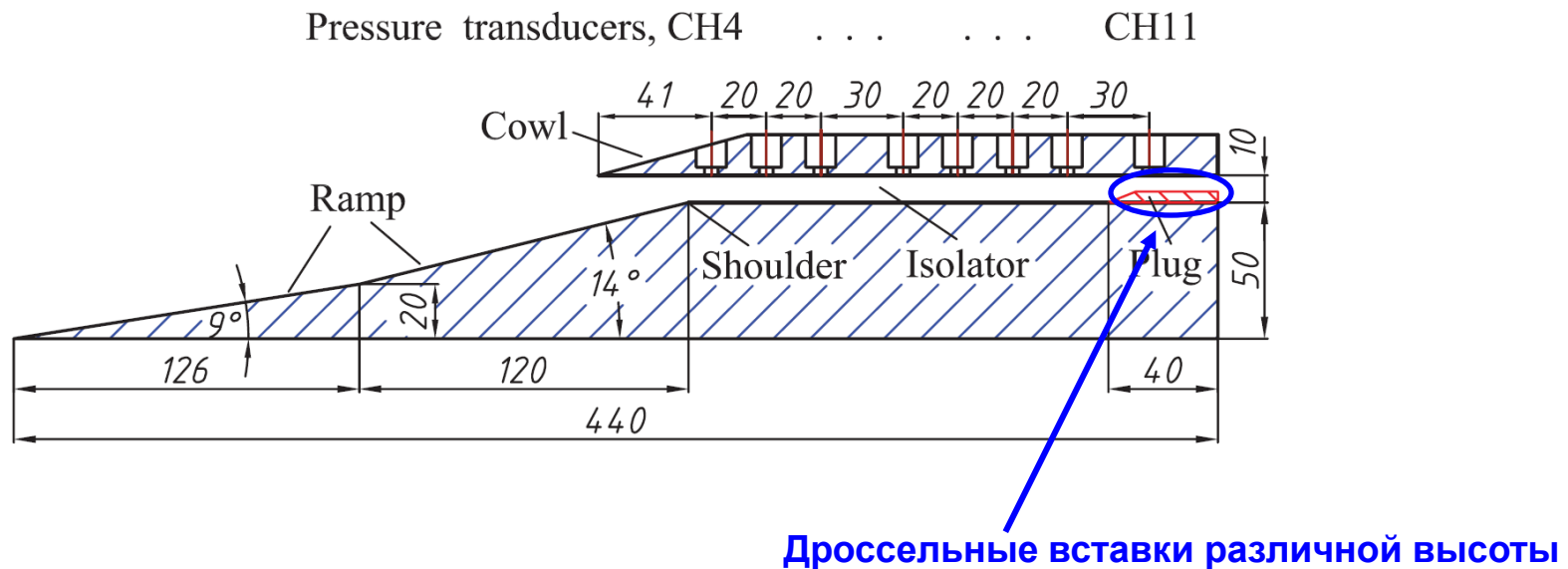
URANS-ветвь JET3D

Исследование с помощью URANS течения в модельном сверхзвуковом воздухозаборнике (В3) смешанного сжатия при $M_0=5.9$ при различных степенях дросселирования

Фотография и схема модели В3 из статьи:

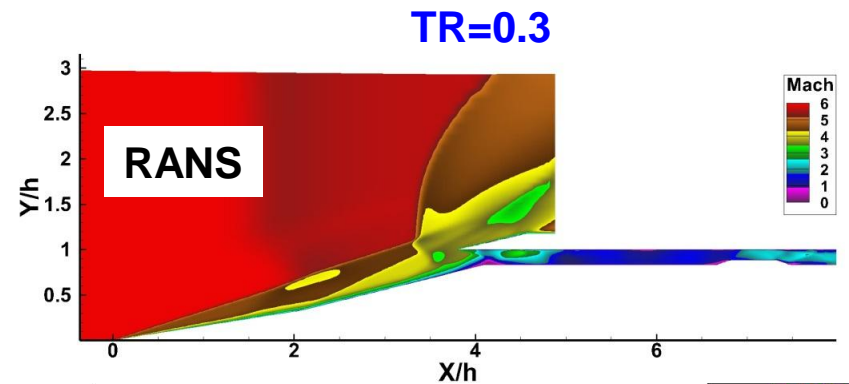
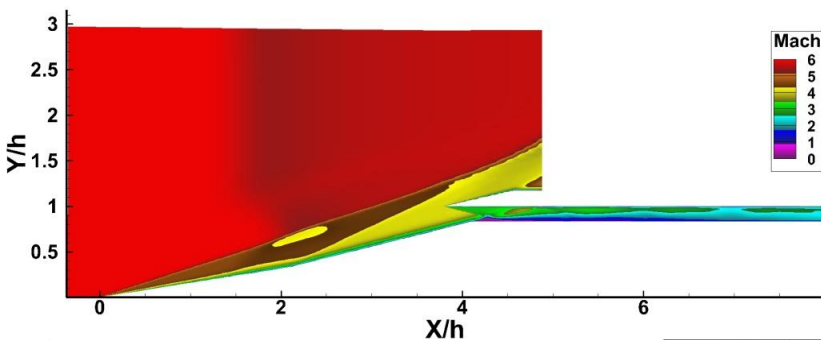
Li Z., Gao W., Jiang H., Yang J. Unsteady Behaviors of a Hypersonic Inlet Caused by Throttling in Shock Tunnel // AIAA J. 2013. V. 51, № 10. P. 2485- 2492.

Боковые стенки по мысли
экспериментаторов
должны были обеспечить
двумерное течение на
входе в В3 .

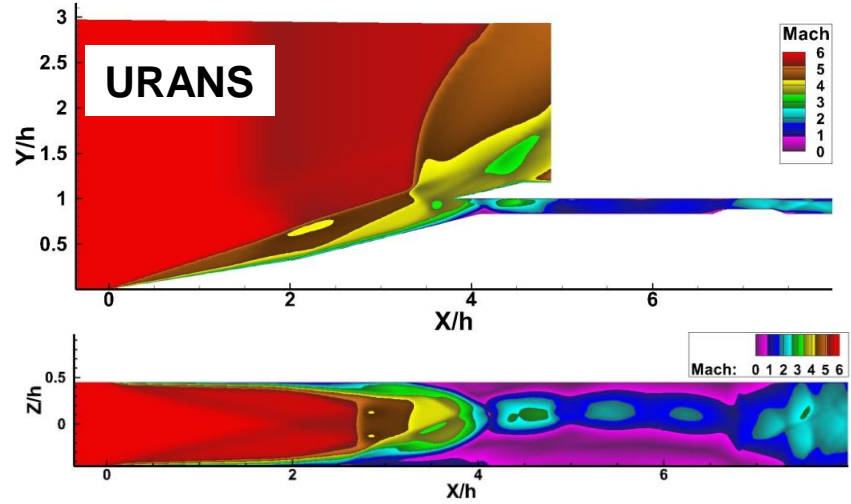
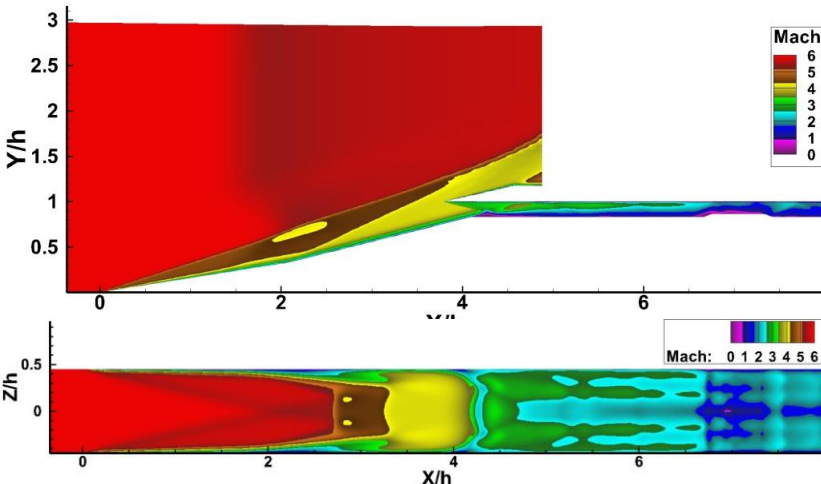


Влияние дросселирования на течение в канале В3. Поля чисел Маха.

TR=0



TR=0.2

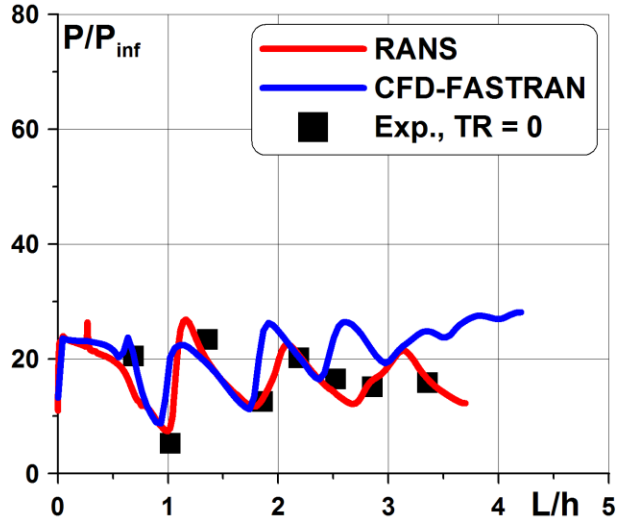


От пограничного слоя на щеках В3 идут скачки уплотнения, в результате в канале В3 наблюдается сложная трехмерная структура течения

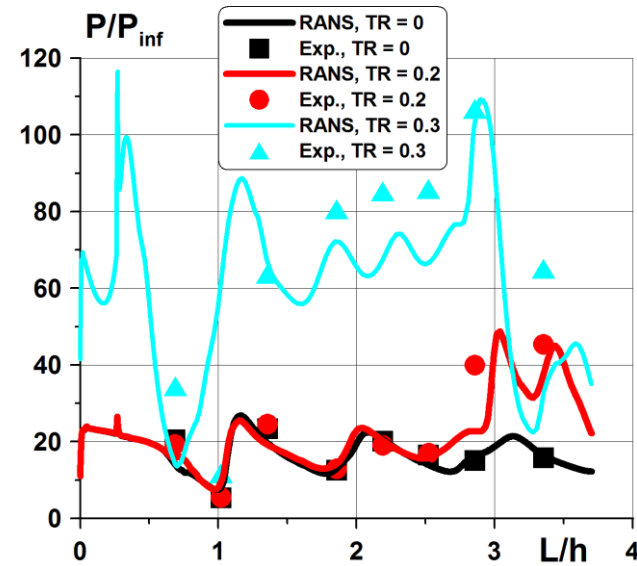
Разрушается система скачков уплотнения; течение теряет устойчивость и становится асимметричным

Сравнение результатов расчетов с экспериментом

Распределение статического давления вдоль верхней стенки ВЗ

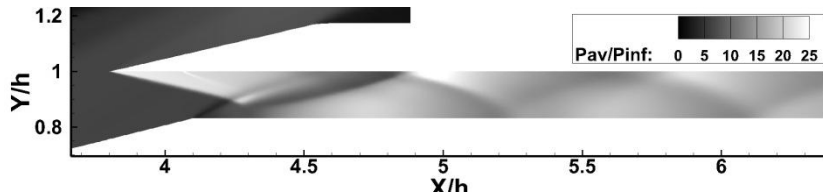


Сравнение расчетов настоящим методом и пакетом FASTRAN с данными эксперимента для TR=0.



Влияние дросселирования.
Сравнение расчетов настоящим методом с экспериментом.

Поля статического давления в ВЗ при TR=0.



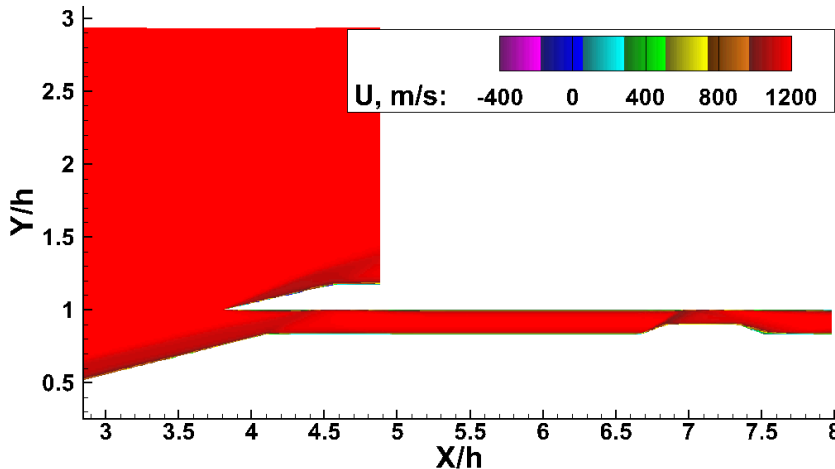
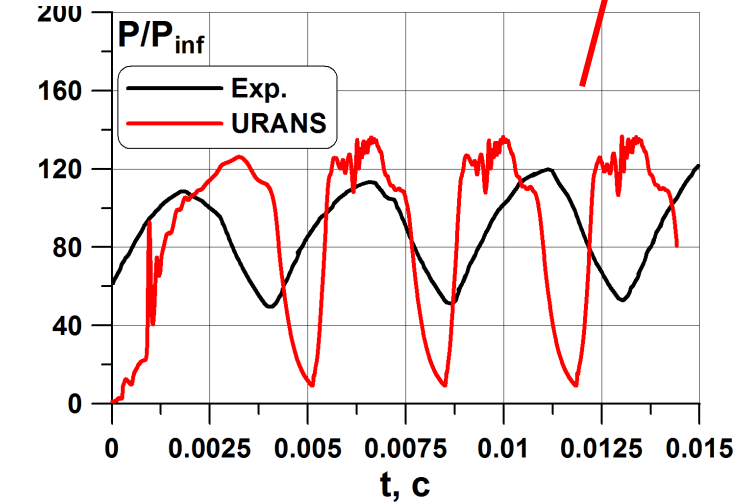
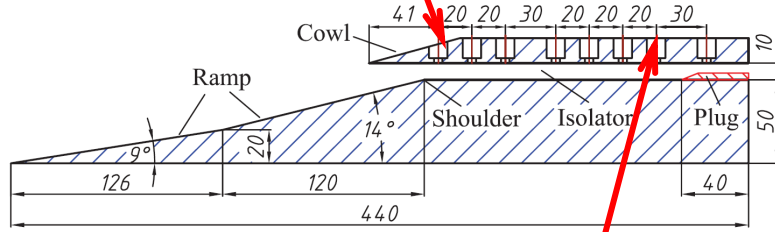
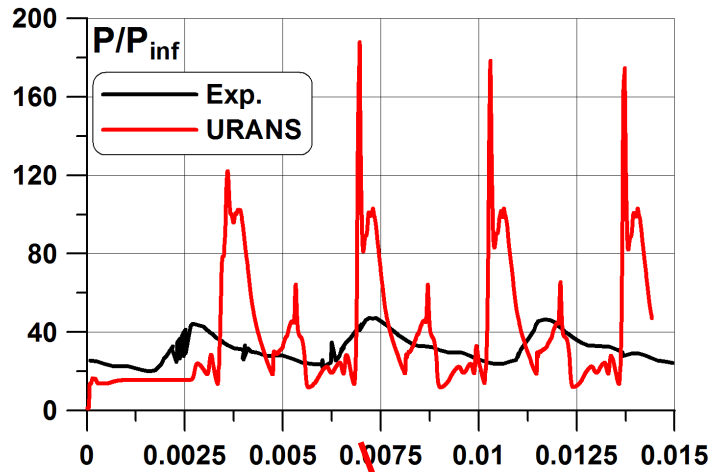
Расчет



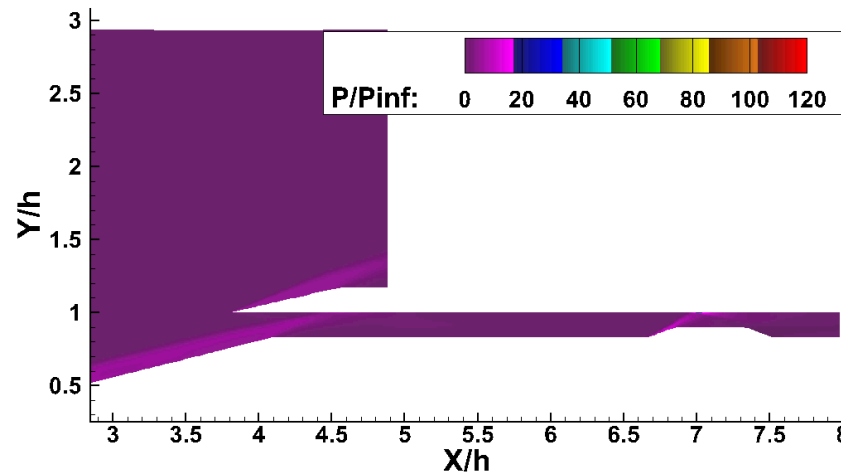
Эксперимент

Помпаж В3. TR=0.4

Осциллограмма давления, сравнение с экспериментом



Мгновенное поле скорости



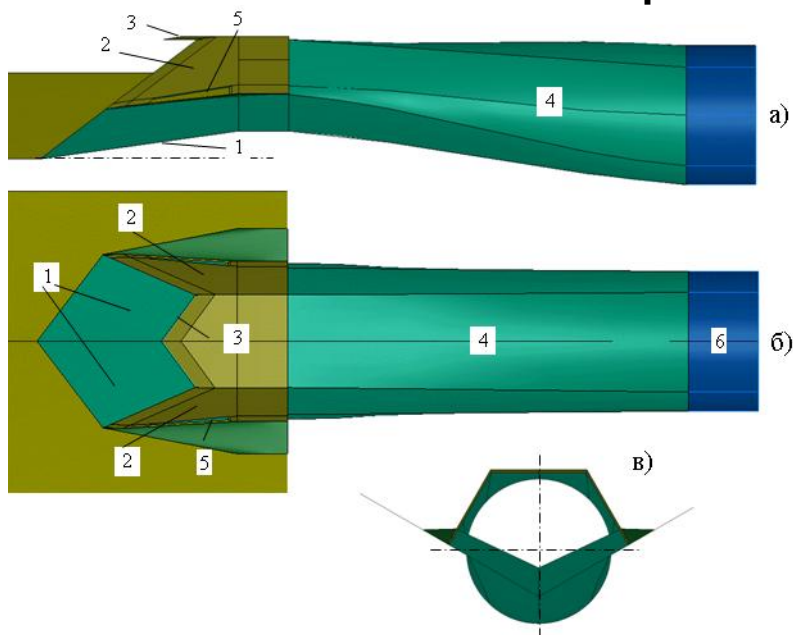
Мгновенное поле давления

Частота помпажа в расчете 300Гц,
в эксперименте – 220Гц

RANS/ILES-ветвь JET3D

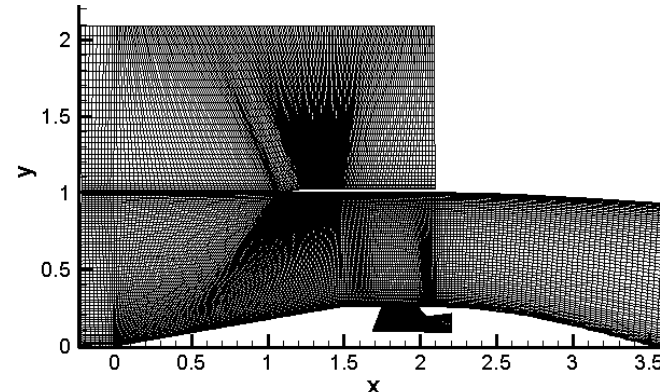
Влияние дросселирования на течение и уровень турбулентных пульсаций в конвергентном сверхзвуковом ВЗ $M_p=1.8$

Геометрия воздухозаборника (ВЗ)



Общий вид воздухозаборника *

а – вид сбоку в плоскости симметрии, б – вид сверху, в – вид спереди
1 – поверхности торможения, 2 – боковые стенки, 3 – обечайка, 4 – дозвуковой диффузор, 5 – окна перепуска 6 – цилиндрическая секция перед входом в двигатель



Число ячеек 3.5×10^6

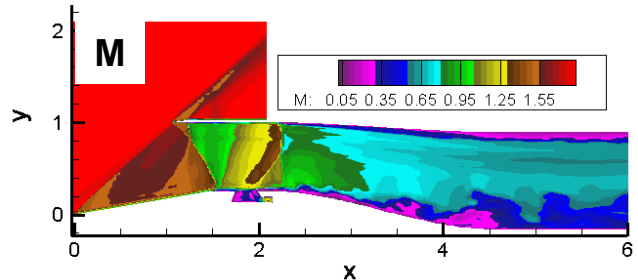
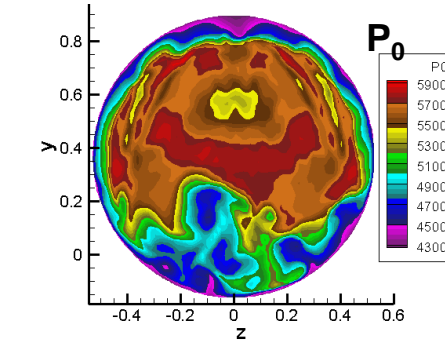
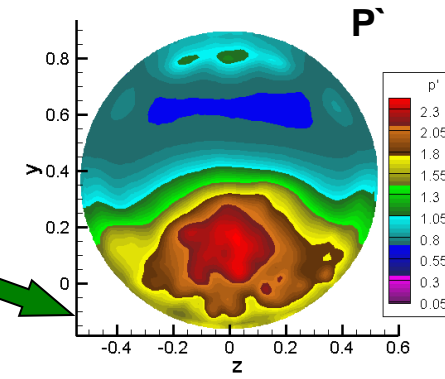
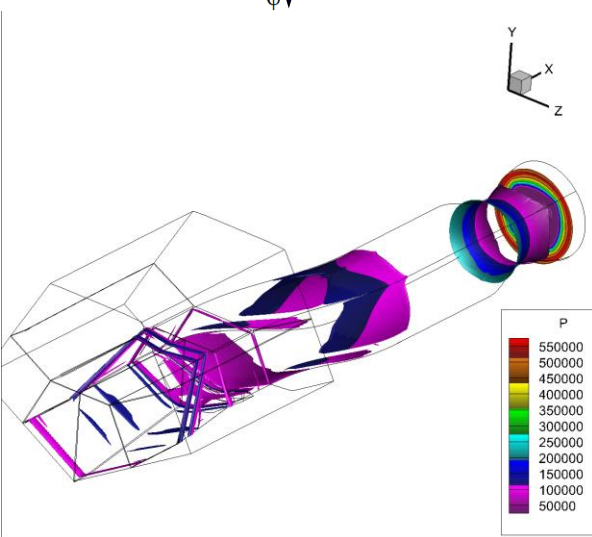
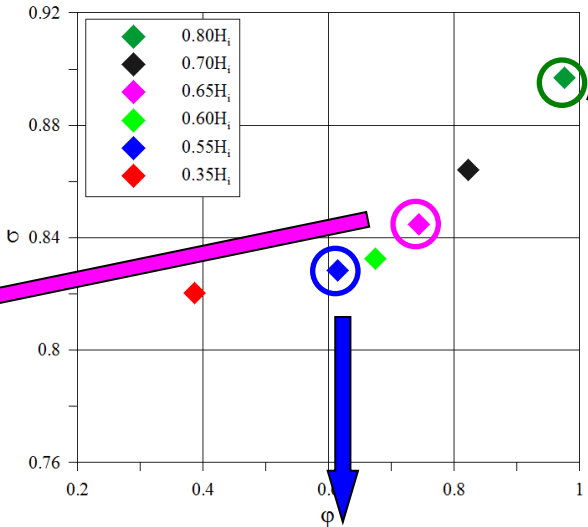
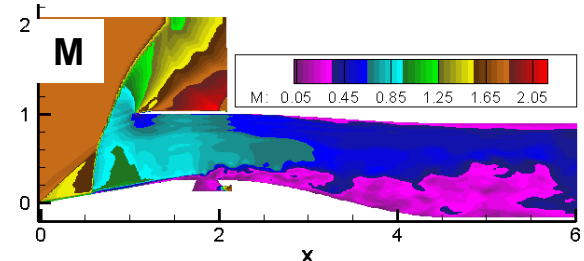
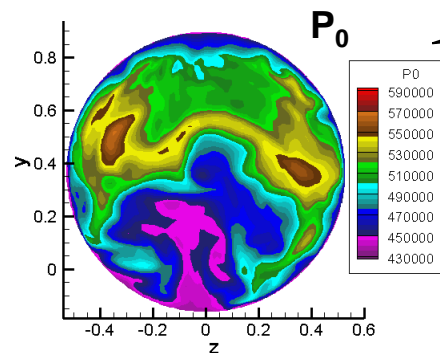
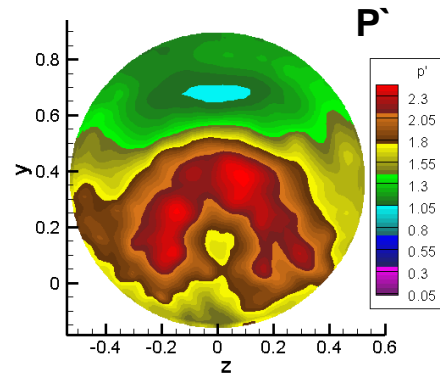
$M=1.82$

$Re=1.6 \times 10^6$

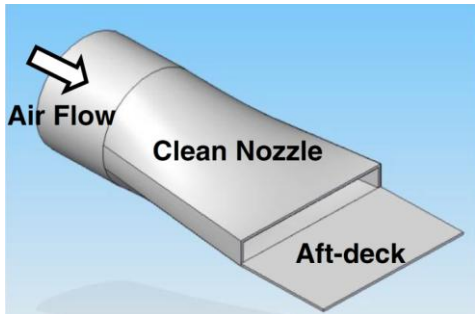
Рассматривались два варианта системы слива пограничного слоя с $H_{\text{bleed}}=0.05H_i$ и $H_{\text{bleed}}=0.1H_i$. H_i – высота входа ВЗ.

* Геометрия представлена Степановым В.А., Виноградовым В.А.(ЦИАМ)

Влияние дросселирования на течение в канале ВЗ для $H_{bleed}=0.05H_i$



Влияние температуры струи и экрана течения в нерасчетной сверхзвуковой струе из прямоугольного сопла

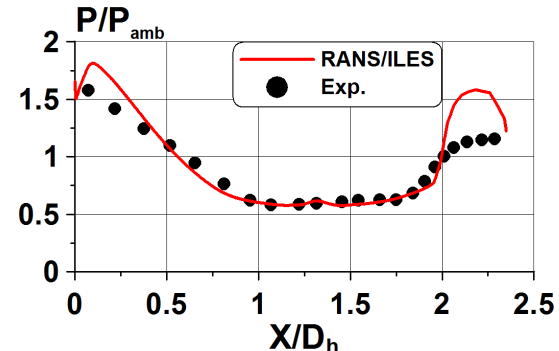


Расчетные сетки $(7.4-7.8) \times 10^6$

$$M_j = 1.467$$

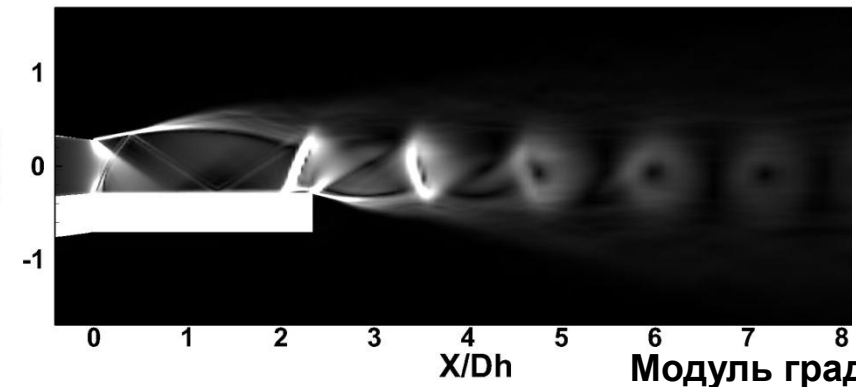
$$T_0 = 300\text{K}, Re = 1.142 \times 10^6$$

$$T_0 = 600\text{K}, Re = 0.466 \times 10^6$$



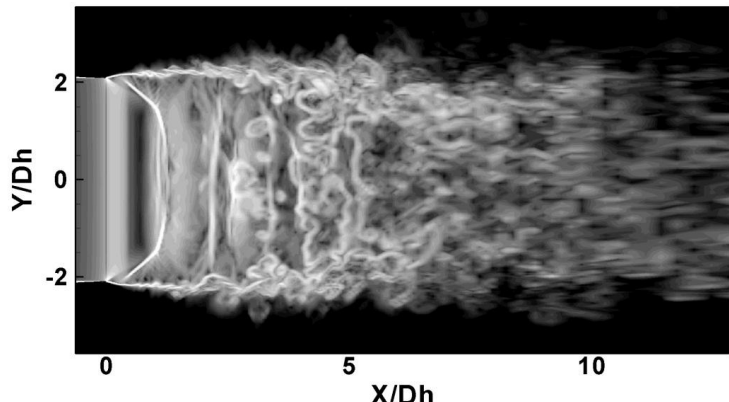
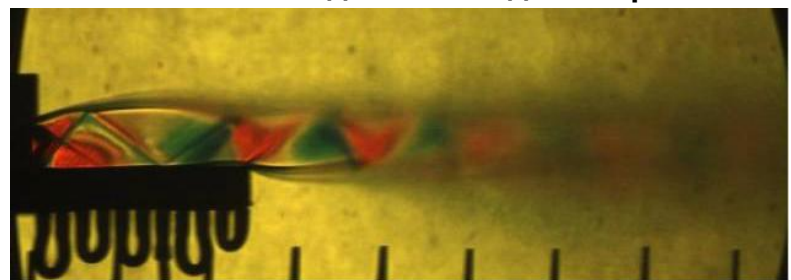
Распределение статического давления вдоль экрана

RANS/LES

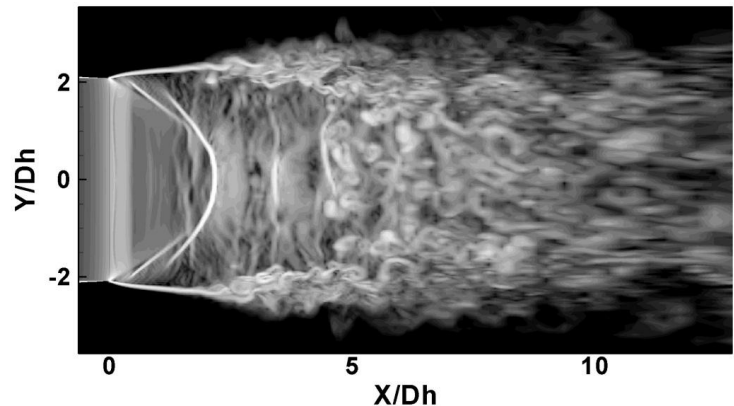


Модуль градиента плотности

Эксперимент



Сопло без экрана

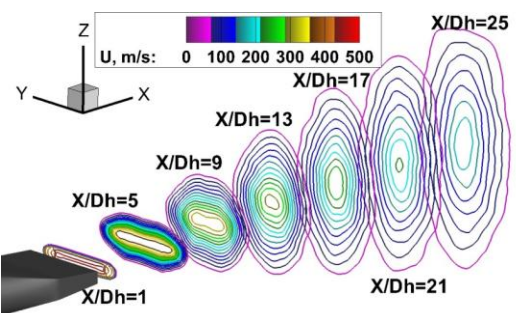
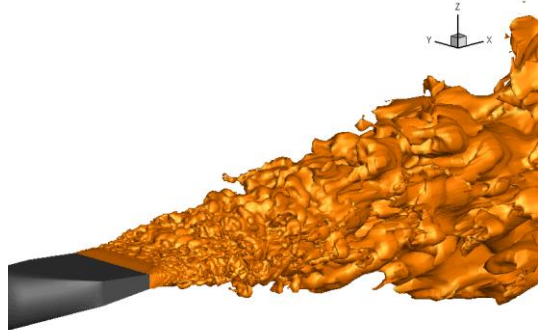


Поле $\log |\overline{\text{grad } \rho}|$

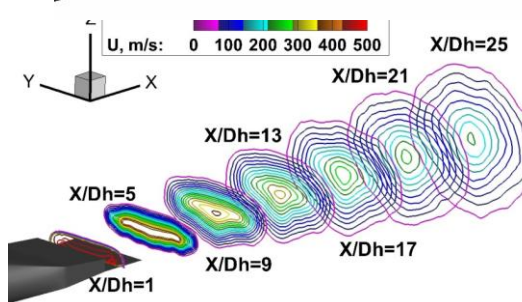
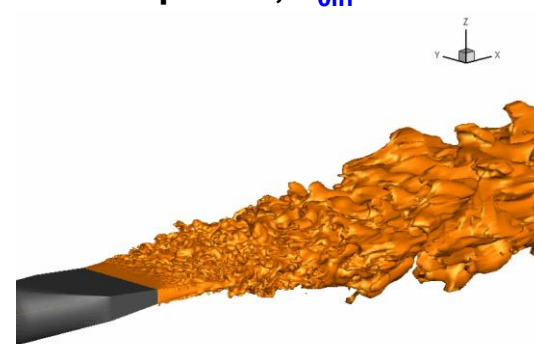
Сопло с экраном

Влияние температуры струи и экрана течение в нерасчетной сверхзвуковой струе из прямоугольного сопла (продолжение)

Сопло без экрана, $T_{0in}=300\text{K}$

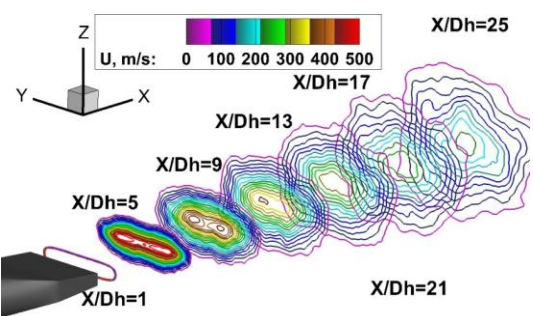


Сопло с экраном, $T_{0in}=300\text{K}$

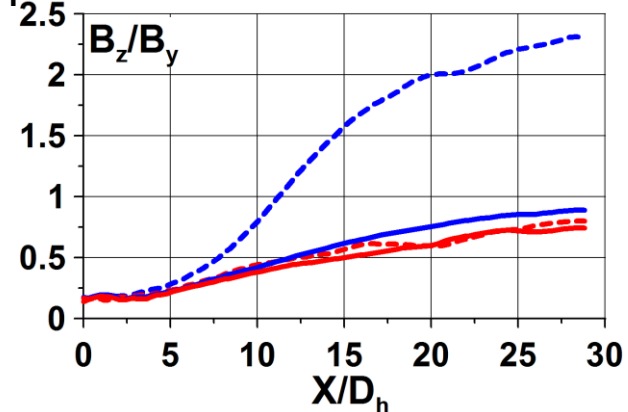


Изолинии осредненной продольной скорости в поперечных сечениях струй

Сопло без экрана, $T_{0in}=600\text{K}$



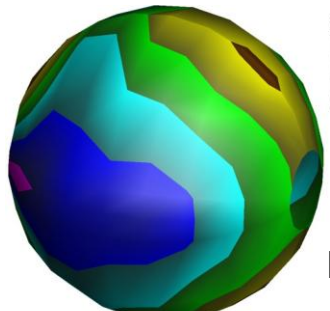
- $T_{0in} = 300\text{K}$, без экрана
- $T_{0in} = 300\text{K}$, с экраном
- - $T_{0in} = 600\text{K}$, без экрана
- $T_{0in} = 600\text{K}$, с экраном



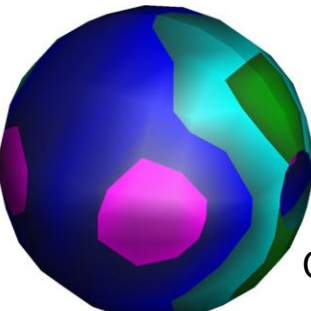
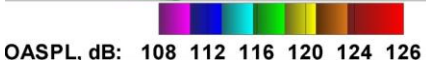
Отношение размеров струй в вертикальном и горизонтальном направлении

Влияние температуры струи и экрана на общий уровень шума в нерасчетной сверхзвуковой струе из прямоугольного сопла ($R/D_h=200$)

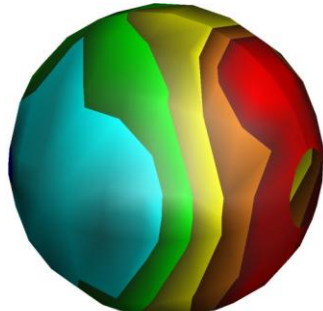
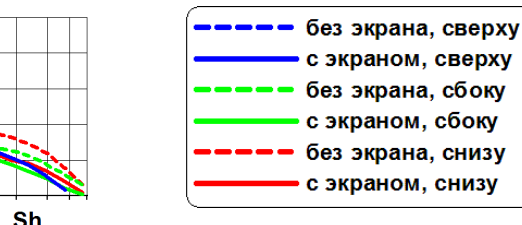
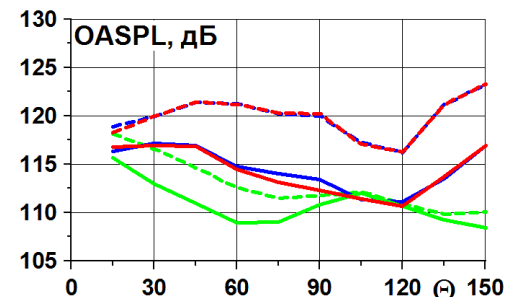
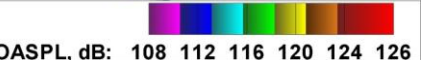
Холодные струи



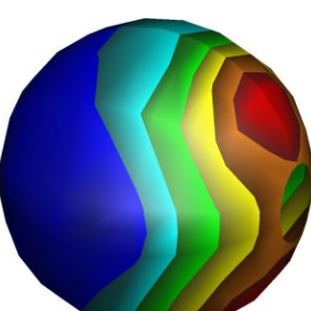
Без экрана



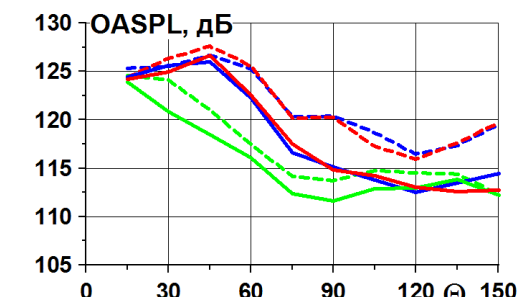
С экраном



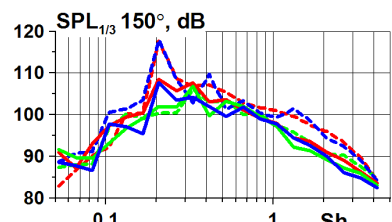
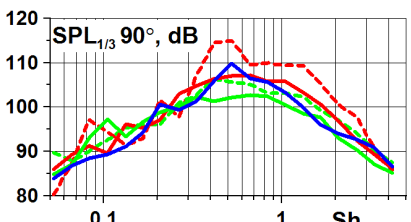
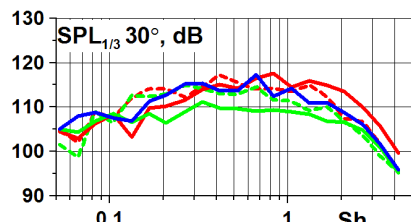
Без экрана



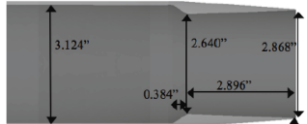
С экраном



Горячие струи



Холодные и горячие нерасчетные сверхзвуковые пристеночные струи и пристеночная струя с отбойником $\pi=4$, $M_j=1.56$



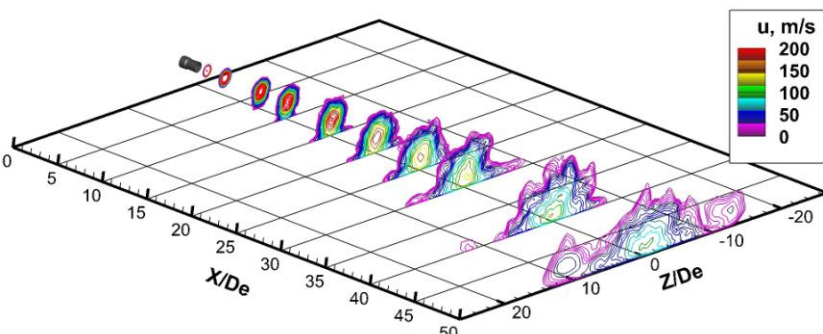
Геометрия C-D сопла
(AIAA R. 2013. №323) $M_p=1.5$



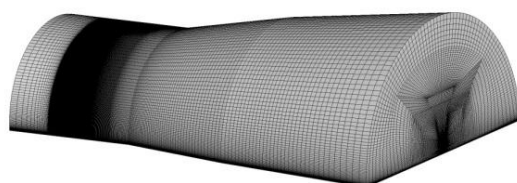
Схема расположения сопла, поверхности аэродрома и отбойника

Холодная, $T=300K$, $Re=2.4\times10^6$

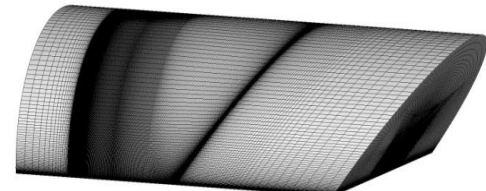
Горячая, $T=600K$, $Re=1.5\times10^6$



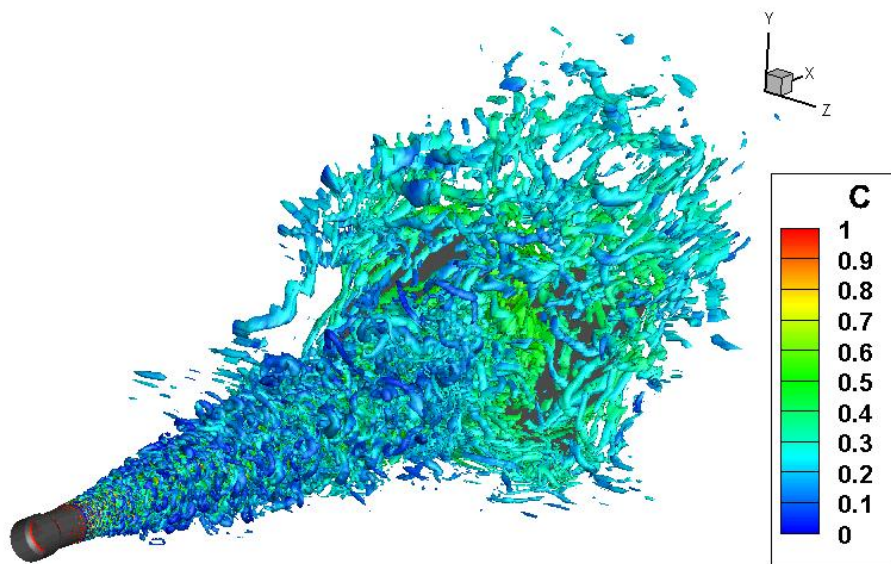
Трансверсальное растекание пристеночной холодной струи.
Мгновенная продольная скорость.



Пристеночная струя.
Сетка 6.7×10^6 ячеек.



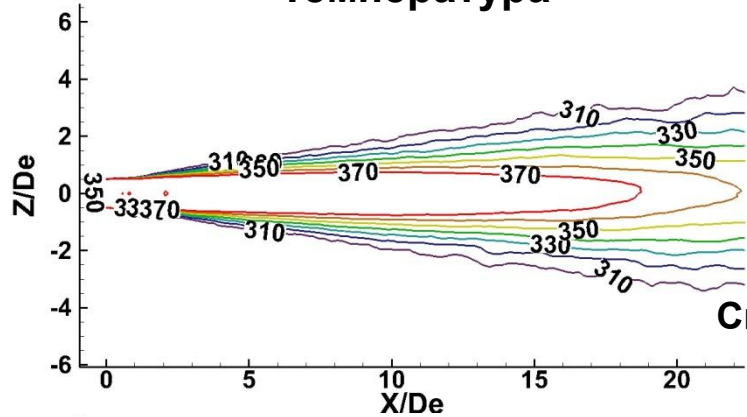
Пристеночная струя с отбойником.
Сетка 8.5×10^6 ячеек.



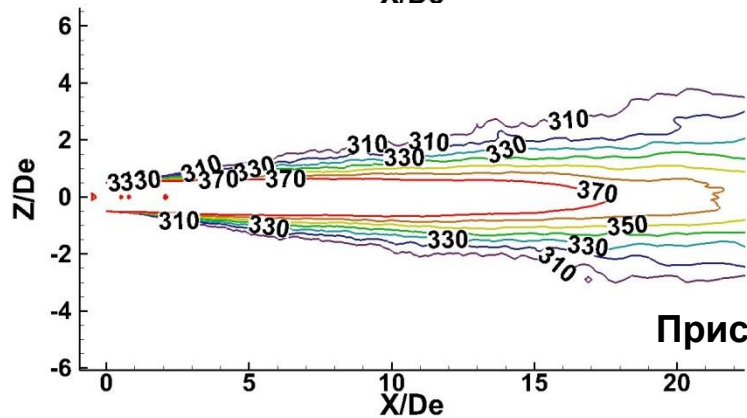
Натекание струи на отбойник. Анимация Q-критерия
(в цветах концентрации пассивной примеси,
которой помечена струя).

Изолинии осредненной статической температуры и пульсаций давления для горячих струй. Определение зоны безопасности.

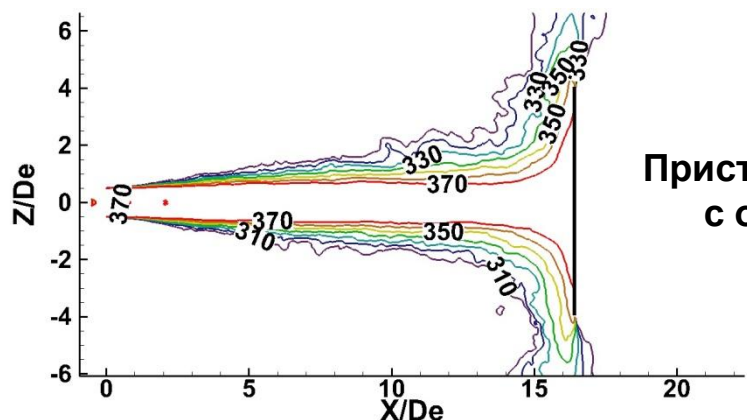
Температура



Свободная струя

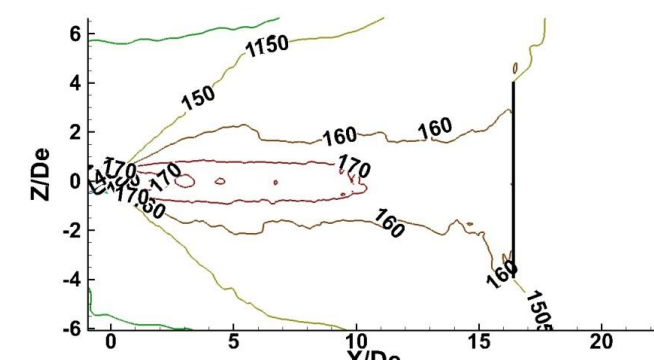
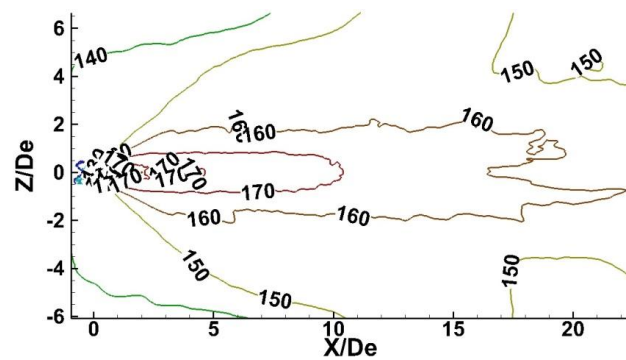
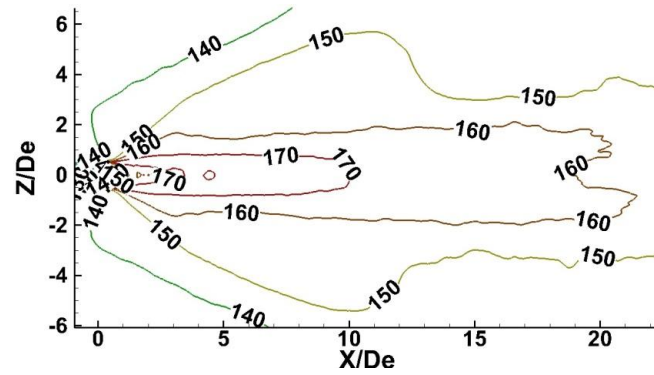


Пристеночная струя



Пристеночная струя
с отбойником

Пульсации давления

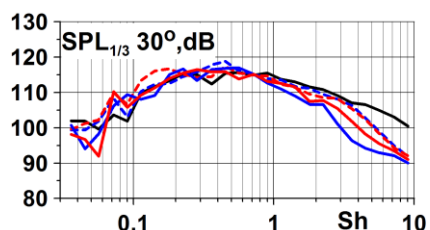
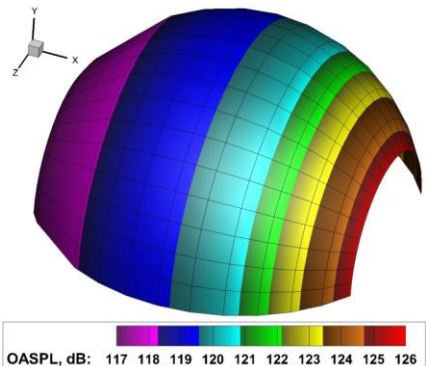


Болевой порог 120 дБ, смертельный уровень 200дБ

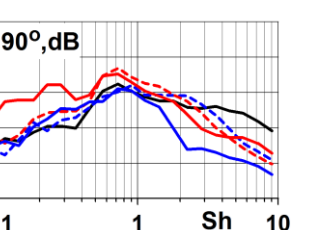
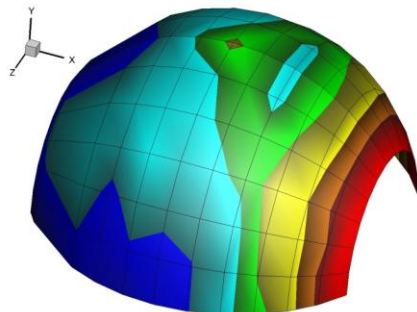
Уровень шума в дальнем поле струй на расстоянии $R/D_e=49$

Холодные струи

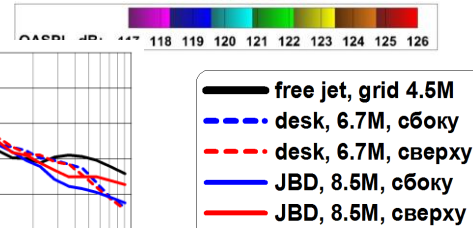
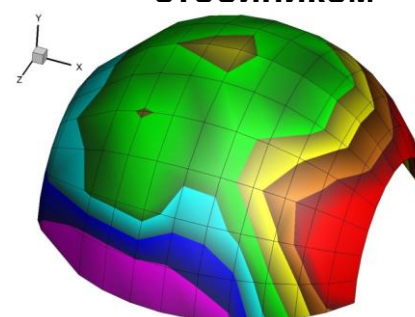
Свободная струя



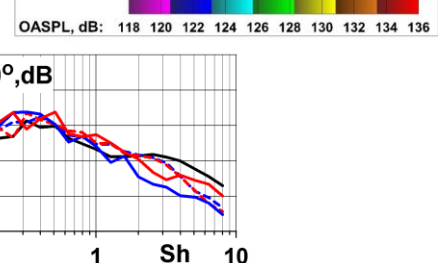
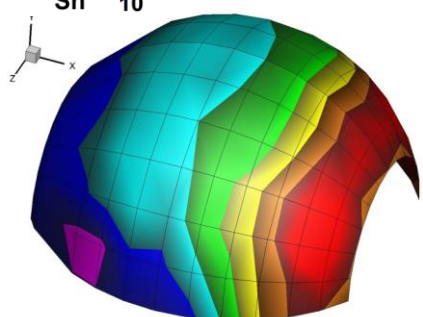
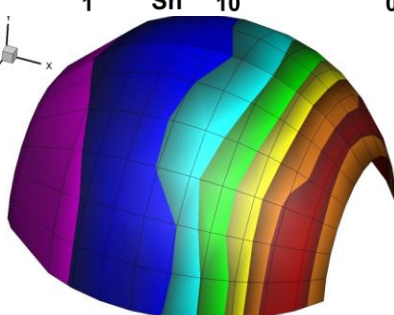
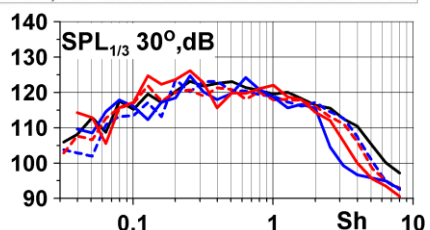
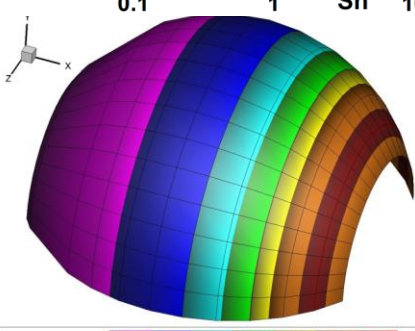
Пристеночная струя



Пристеночная струя с отбойником

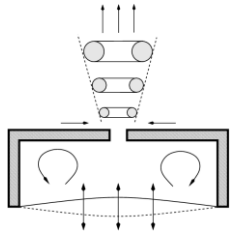


Горячие струи

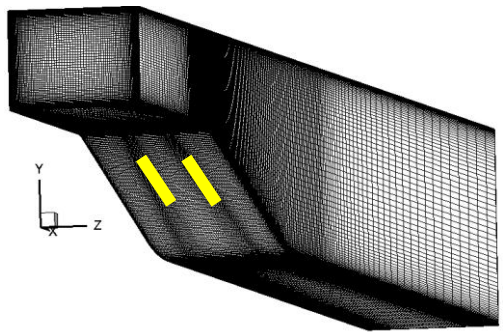


В холодных струях влияние поверхности аэродрома и отбойника на уровень шума и диаграмму направленности сильнее, чем в горячих. В пристеночных струях шум меньше на высоких частотах, но меньше на низких.

Оценка точности модифицированного граничного условия для моделирования генератора синтетических струй

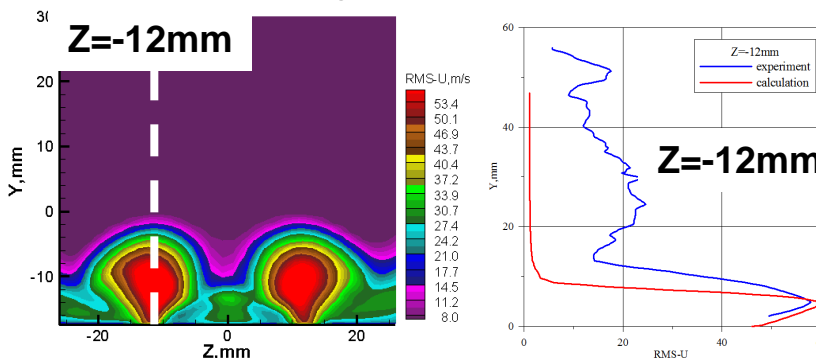


Вместо экспандивного расчета течения в ГСС, использовано модифицированное граничное условие на стенке:
 $V_n = q \times \sin(2 \times \pi \times f \times t)$

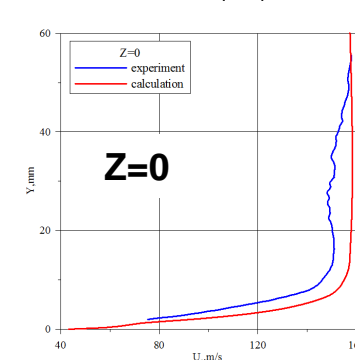
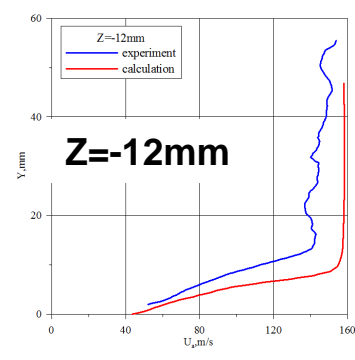
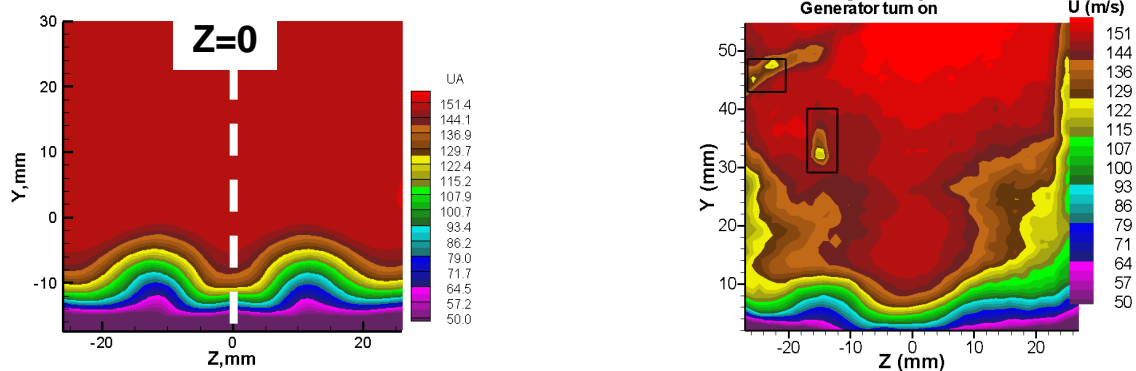


- Прямоугольный диффузор
- Отношение площади выхода к площади входа: 2
- Угол наклона нижней стенки: 15°
- Высота входа: 75мм
- Ширина канала: 100мм
- Расчетная сетка: $(1.8-3.5) \times 10^6$ ячеек

Пульсации продольной скорости



О среднененной продольной скорости

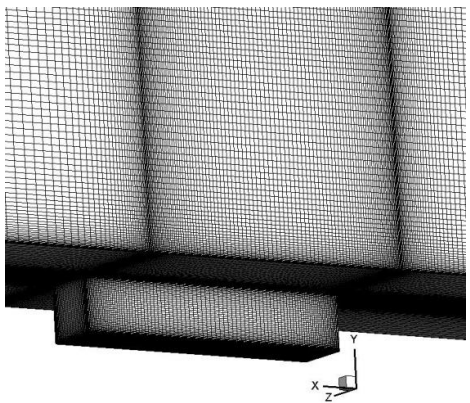


Замена ГСС граничными условиями обеспечило приемлемую точность расчетов

Исследование влияния синтетических струй на течение в каверне M219 при дозвуковой и сверхзвуковой скорости внешнего потока

$D=W=L/5$, L – длина каверны, D – высота, W – ширина

Сетка всего 2.626×10^6 ячеек,
в каверне 3.4×10^5 ячеек

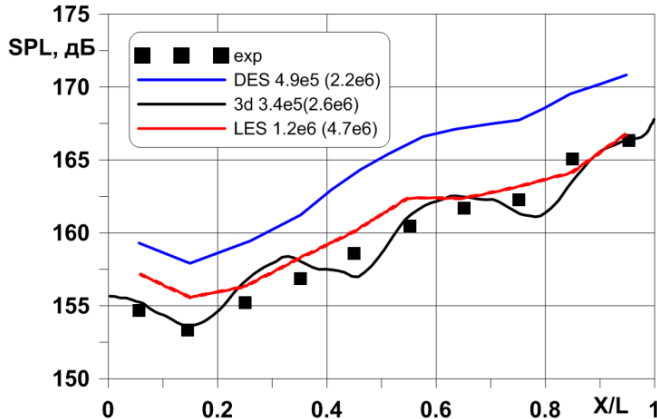


$T=300\text{K}$; $P=0.1\text{MPa}$

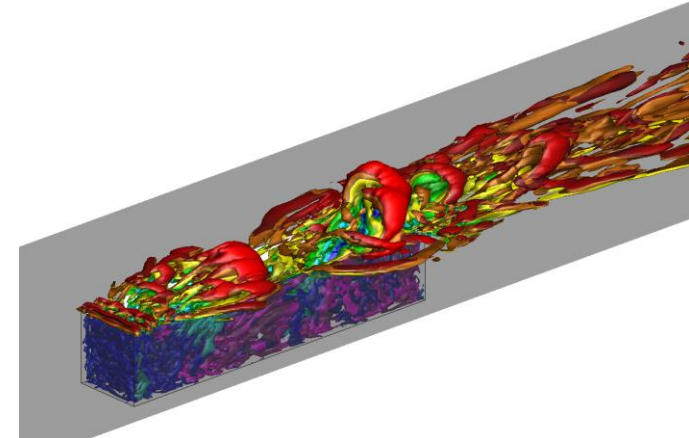
$M=0.85$, $\text{Re}=1.36 \times 10^6$

$M=1.5$, $\text{Re}=2.39 \times 10^6$

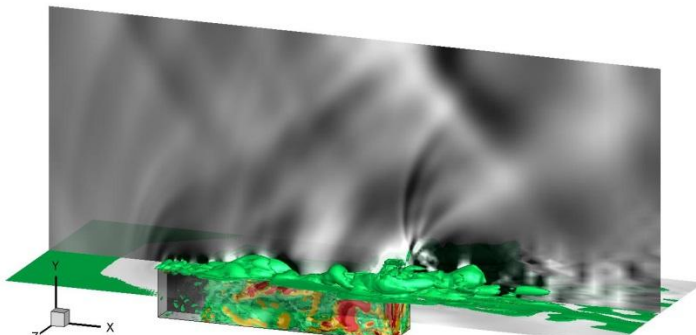
Оценка точности метода



Анимация Q-критерия

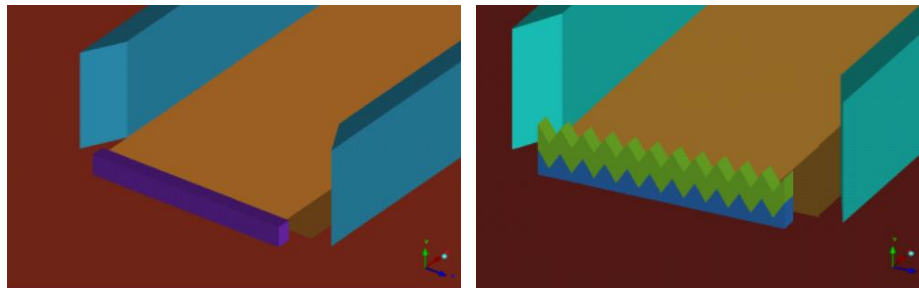


Изоповерхности градиента плотности (цветные)
и поле $\partial P/\partial t$ (черно-белое)



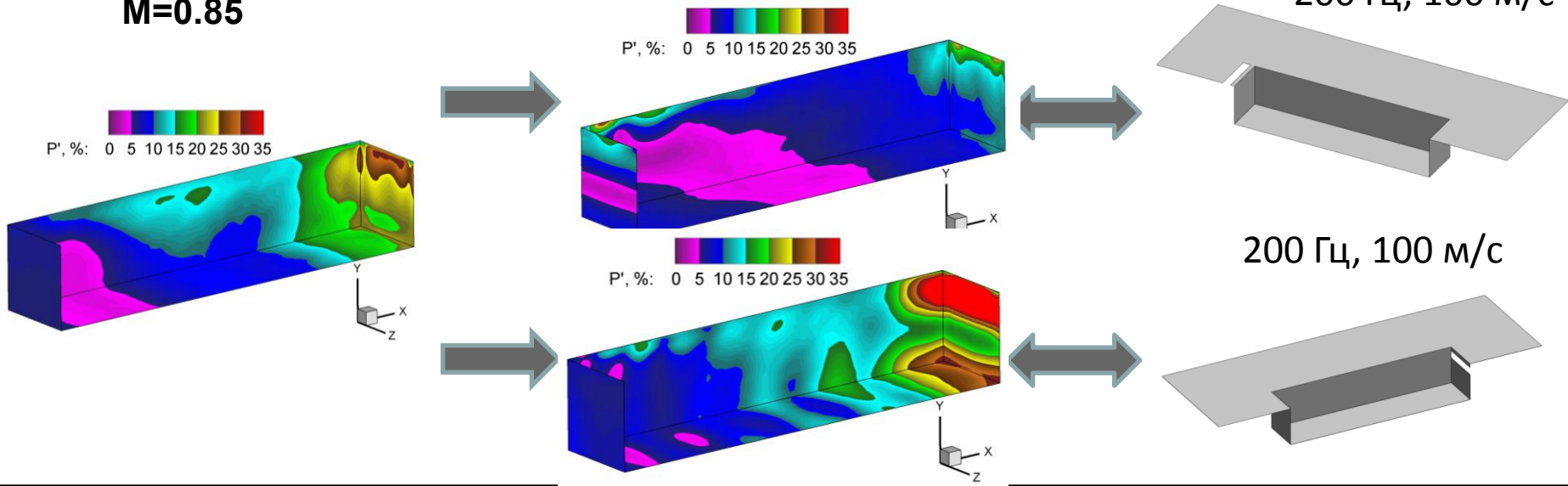
Взаимодействие нестационарного слоя смешения с дозвуковым внешним потоком вызывает разгон последнего, что приводит к образованию ударных волн.

Каверна выполняет роль турбулизатора для внешнего течения
Примеры пассивного управления течением

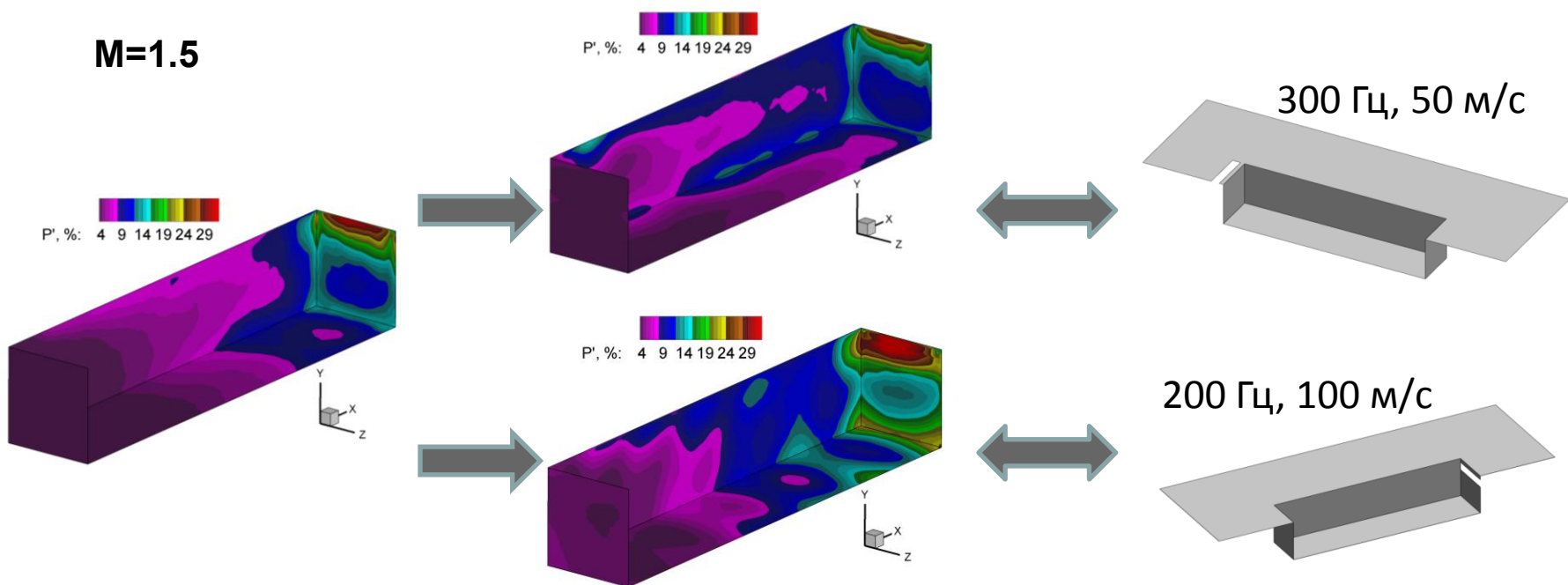


Влияние положения и режимных параметров синтетических струй на пульсации давления на стенках каверны

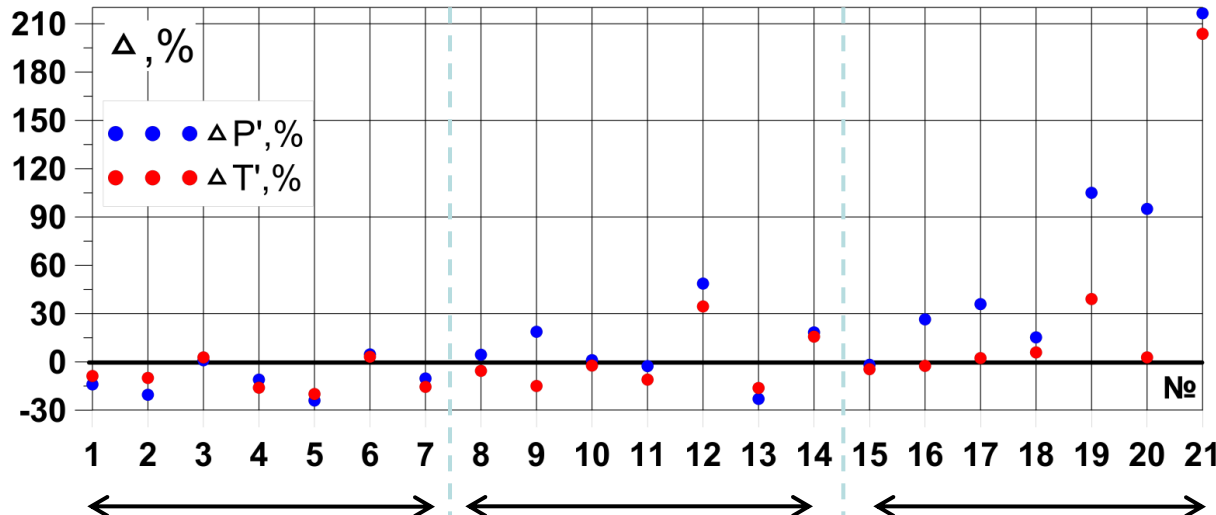
M=0.85



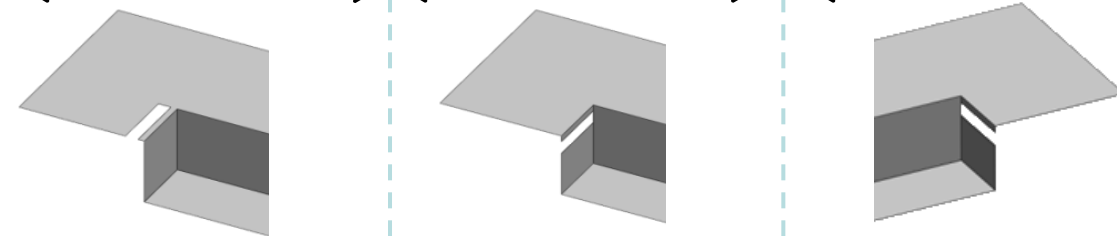
M=1.5



Влияние расположения и режимных параметров на пиковые значения пульсаций статического давления и температуры на стенках каверны

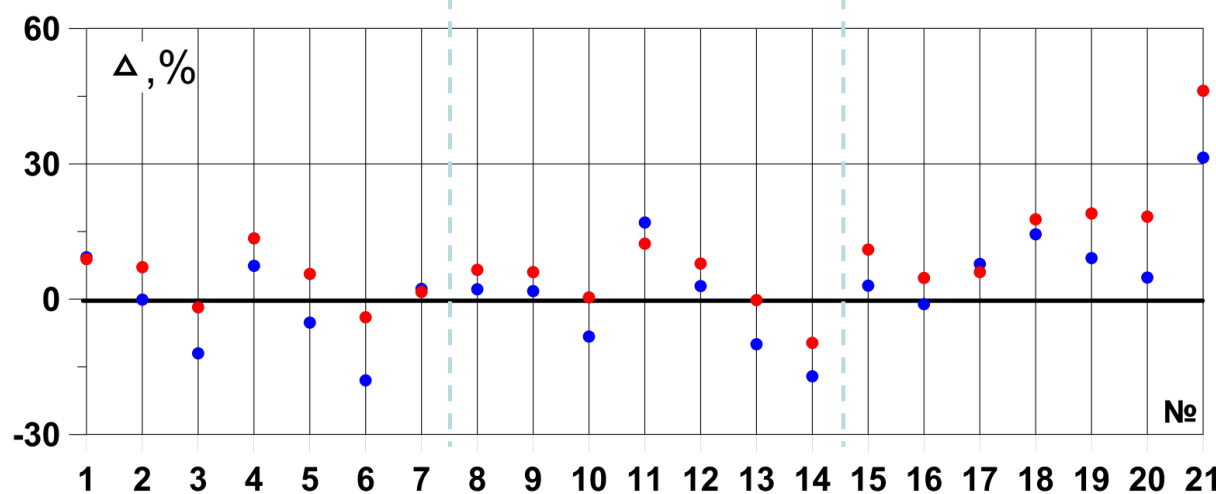


← M=0.85



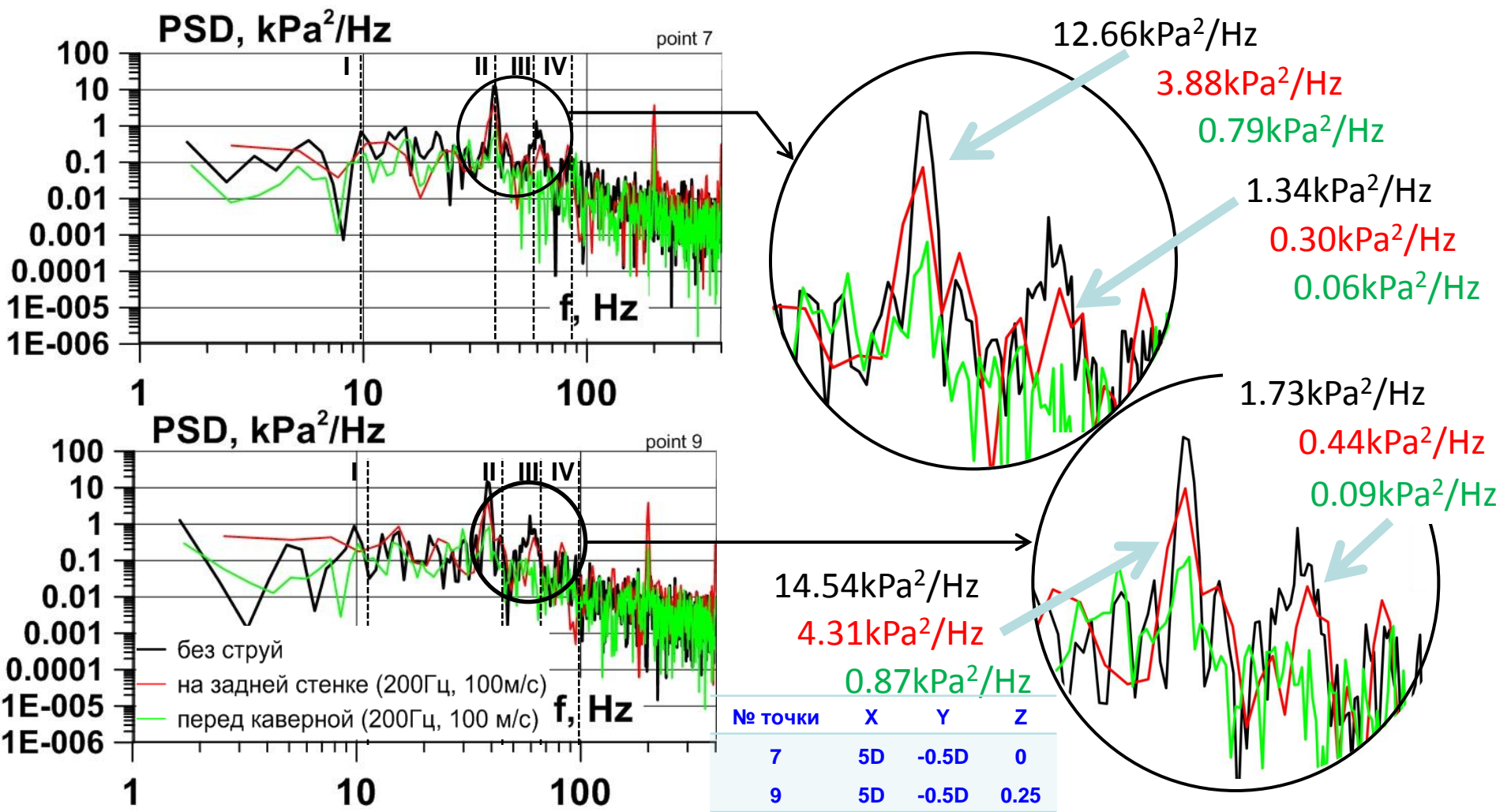
№		f, Гц	q, м/с	
1	8	15	100	
2	9	16	50	200
3	10	17		300
4	11	18		100
5	12	19		200
6	13	20		300
7	14	21		1000
			100	

← M=1.5

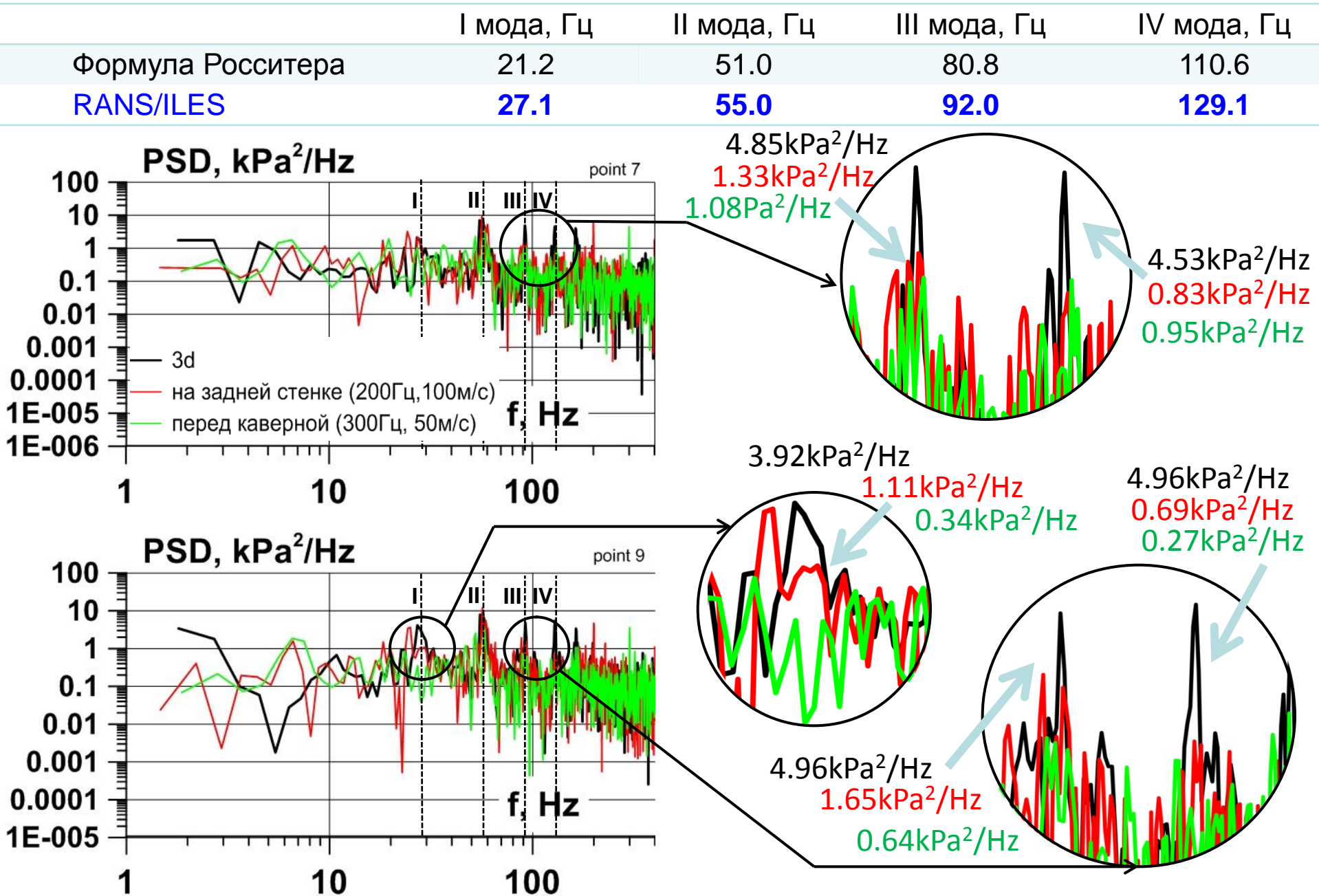


M=0.85. Точность расчета мод собственных колебаний. Влияние синтетических струй на спектр пульсации давления на задней стенке каверны.

	I мода, Гц	II мода, Гц	III мода, Гц	IV мода, Гц
Эксперимент	18.0	38.2	62.5	83.7
LES 4.7×10^6 ячеек (1.6×10^6)	19.6	40.3	62.5	83.7
DES 2.2×10^6 ячеек (4.9×10^5)	20.7	40.3	63.6	84.8
Формула Росситера	14.9	36.0	57.0	78.1
RANS/ILES 2.6×10^6 ячеек (3.4×10^5)	9.8	39.0	59.4	84.1



M=1.5. Точность расчета мод собственных колебаний. Влияние синтетических струй на спектр пульсации давления на задней стенке каверны



Спасибо за внимание!